

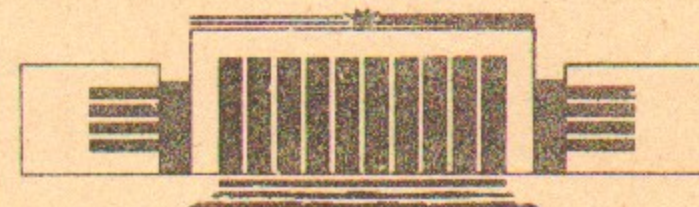


ИНСТИТУТ ЯДЕРНОЙ ФИЗИКИ  
им. Г.И. Будкера СО РАН

В.В. Мазепус

МОДЕЛЬ ПРИНУДИТЕЛЬНОГО ВРАЩЕНИЯ,  
СОХРАНЯЮЩАЯ В СРЕДНЕМ КВАДРАТ  
УГОЛОВОГО МОМЕНТА

ИЯФ 92-49



НОВОСИБИРСК

моменту количества движения ядра, то вращение ядра в деформированных ядрах не может быть описано с помощью модели принудительного вращения. Вместо этого для описания вращения ядра в деформированных ядрах можно использовать модель, основанную на представлении ядра как системы из нескольких частиц, движущихся в общем центре масс. Такой подход позволяет учесть не только угловую скорость вращения ядра, но и его деформацию, а также взаимодействие между различными частями ядра. Это делает модель более универсальной и адекватной реальности.

Для самосогласованного описания ротационных возбуждений в деформированных ядрах в настоящее время используется, главным образом, модель принудительного вращения, или cranking-модель (СМ). Она достаточно проста, удобна для численных расчетов и в целом довольно хорошо воспроизводит энергию вращательных уровней ядер редкоземельной области [1]. В то же время в силу полуклассического характера ее применимость в случае не больших угловых моментов вызывает сомнения, особенно серьезные, если речь идет о системах с нечетным числом частиц. Так, в противоречии с высказывавшимися утверждениями [1, 2], она не выводима в рамках метода проектирования [3]. Кроме того, она не согласуется с решением простой микроскопической модели [4].

Существенным недостатком СМ является также то обстоятельство, что она, вообще говоря, не сходится к точному решению при расширении класса пробных функций до полного гильбертова пространства. Действительно, в этом случае условие ограничения для четной системы

$$\langle J_x \rangle = \sqrt{I(I+1)}, \quad (1)$$

где  $I$ —заданное значение спина, а  $J_x$  —  $x$ -компоненты оператора углового момента, приводит к тому, что даже при замене “квазиклассического” корня  $\sqrt{I(I+1)}$  на  $I$  решением вариационной задачи является то из точных состояний с моментом  $I' \geq I$  и проекцией на ось квантования  $x$ , равной  $I$ , которое имеет минимальную энергию. Таким образом, правильные решения воспроизводятся лишь при монотонном росте энергии с моментом. Аналогичная ситуация имеет место и в случае нечетного ядра.

По этим причинам представляются естественными попытки заменить явно квазиклассическое условие (1) физически более ясным условием

$$\langle \vec{J}^2 \rangle = I(I+1), \quad (2)$$

приводящим, однако, при  $I \sim 1$  и ограничении хартри-фоковскими состояниями к нефизическому моменту инерции, не сходящемуся в пределе большого числа частиц к твердотельному значению. Это обстоятельство связано с тем, что ограничение пространства пробных волновых функций состояниями хартри-фоковского типа само по себе приводит к решением с большой дисперсией углового момента. В самом деле, абсолютный минимум энергии, то есть минимум, полученный без каких-либо ограничений, отвечает в этом случае основному состоянию, имеющему в четной системе спин 0. Такой минимум достигается на волновой функции  $|0\rangle$ , представляющей собой вакуум квазичастиц деформированного ядра с фиксированной ориентацией. Если  $z$ —ось симметрии системы, то

$$J_z|0\rangle = 0,$$

$$\langle 0|\vec{J}^2|0\rangle = 2\langle 0|J_y^2|0\rangle \gg 1.$$

Таким образом, условие (2) плохо согласуется с данным выбором пространства пробных состояний.

Простейший способ преодолеть указанную трудность состоит, по-видимому, в замене уравнения (2) менее сильным условием

$$\langle \vec{J}^2 \rangle_I - \langle \vec{J}^2 \rangle_{I'} = I(I+1) - I'(I'+1), \quad (3)$$

где  $\langle \dots \rangle_I$  означает усреднение по хартри-фоковскому или БКШ-состоянию, отвечающему спину  $I$ . В этом условии, очевидно, сокращается аддитивная часть дисперсии углового момента, возникающая из-за ограниченности пространства пробных состояний и не связанныя, тем самым, с физически осмыслинной картинкой ядерного вращения. Кроме того, при расширении пространства состояний оно приводит к точному решению. Наконец, в квазиклассическом пределе оно равносильно условию (1).

В силу произвольности “точки перенормировки”  $I'$  уравнение (3) эквивалентно равенству

$$\langle \vec{J}^2 \rangle_I = I(I+1) + \Gamma. \quad (4)$$

Здесь  $\Gamma$ —аддитивная константа, которая может быть определена минимизацией энергии без ограничений, что соответствует низшему по энергии состоянию полосы:

$$\Gamma = \langle \vec{J}^2 \rangle_{abs} - I_0(I_0+1); \quad (5)$$

$\langle \dots \rangle_{abs}$ —усреднение по состоянию абсолютного минимума,  $I_0$ —спин этого состояния.

Рассмотрим следствия модели принудительного вращения с ограничивающим условием (4) при не слишком больших спинах (далее эта модель называется квадратичной крэнкинг-моделью, сокращенно—QCM).

Пусть для определенности многочастичный гамильтониан  $H$  содержит только квадруполь-квадрупольное и парное взаимодействия. Его представление в квазичастицах, определенных относительно хартри-фок-боголюбовского основного состояния четной системы  $|0\rangle$ , имеет вид

$$H = \sum_1 E_1 \alpha_1^+ \alpha_1 + (H_{1234}^{40} \alpha_1^+ \alpha_2^+ \alpha_3^+ \alpha_4^+ + \text{э.с.}) + \\ + (H_{1234}^{31} \alpha_1^+ \alpha_2^+ \alpha_3^+ \alpha_4 + \text{э.с.}) + H_{1234}^{22} \alpha_1^+ \alpha_2^+ \alpha_4 \alpha_3. \quad (6)$$

Здесь  $E_1 = \sqrt{\epsilon_1^2 + \Delta^2}$ —энергия квазичастиц,  $\epsilon_1$ —деформированное среднее поле,  $\Delta$ —параметр щели. Величины  $H^{40}, H^{31}, H^{22}$ , а также тождества, связывающие матричные элементы одночастичных операторов квадрупольного и углового моментов, приведены, например, в Приложениях статьи [3].

В случае четного ядра пробная волновая функция может быть записана в форме

$$|\Phi\rangle = N \exp(d_{12} \alpha_1^+ \alpha_2^+) |0\rangle \quad (7)$$

с произвольной антисимметричной матрицей  $d_{12}$  ( $N$ —нормировочный множитель). Без ограничения общности допустимо предполагать, что  $d_{12}$  имеет такие же свойства симметрии, как  $x$ -компоненты одночастичного момента  $(\vec{j})_{12}$ .

Варьированию подлежит величина

$$w = \langle \Phi | H - \zeta \vec{J}^2 | \Phi \rangle, \quad (8)$$

включающая левую часть условия (4) с множителем Лагранжа  $\zeta$ . Определим вспомогательные суммы, через которые выражается функционал  $w$ , а также некоторые константы:

$$\Theta_1 = 4 \sum_{12} d_{12} (J_x^{20})_{12}^*, \quad \Theta_2 = 4 \sum_{12} E_{12} |d_{12}|^2, \quad (9)$$

$$D_1 = 2 \sum_{12} E_{12} d_{12} (J_x^{20})_{12}^*;$$

$$D = \langle 0 | J_x^2 | 0 \rangle = 2 \sum_{12} |(J_x^{20})_{12}|^2,$$

$$\frac{D^2}{\Theta_Y} \simeq \frac{3}{2} \kappa Q_0^2 = \sum_{12} E_{12} |(J_x^{20})_{12}|^2. \quad (10)$$

Здесь  $E_{12} \equiv E_1 + E_2$ ,  $\kappa$ —квадруполь-квадрупольяя константа связи,  $Q_0$ —статический квадрупольный момент,  $(J_x^{20})_{12}$ —коэффициенты квазичастичного представления полного углового момента:

$$(J_x^{20})_{12} = -\frac{1}{2} j_{12}^x \eta_{12}^{(-)}, \quad (11)$$

$$\eta_{12}^{(-)} = u_1 v_2 - v_1 u_2,$$

$u_1, v_1$ —коэффициенты преобразования Боголюбова, знаком “~” обозначено  $T$ -сопряжение. Тогда во 2-м порядке по  $d$  и главном порядке по когерентности

$$w = \frac{1}{2} \Theta_2 + \frac{\Theta_Y}{8D^2} (D_1 - D_1^*)^2 - 2\zeta D - \frac{\zeta}{4} (\Theta_1 + \Theta_1^*)^2. \quad (12)$$

Варьируя (12) по  $d_{12}^*$  и пользуясь равенствами (9) как условиями согласования, находим:

$$d_{12} = \frac{C}{\Theta_0} \frac{(J_x^{20})_{12}}{E_{12}} + iA(J_x^{20})_{12}, \quad (13)$$

$$\zeta = 1/2\Theta_0, \quad (14)$$

где  $\Theta_0$ —момент инерции стандартной кренкинг-модели:

$$\Theta_0 = 4 \sum_{12} \frac{|(J_x^{20})_{12}|^2}{E_{12}}; \quad (15)$$

$C$  и  $A$ —константы, не определяющиеся вариационным уравнением. Второй член в правой части (13) отвечает повороту координатных осей; таким образом, величина  $A$  не входит в энергию и средний квадрат момента

и остается неопределенной. Величину  $C$  следует определить из уравнения (4). Решение (13) приведет к следующим выражениям для энергии и момента:

$$\langle \Phi | H | \Phi \rangle = \frac{C^2}{2\Theta_0}, \quad (16)$$

$$\langle \Phi | \vec{J}^2 | \Phi \rangle = 2D + C^2. \quad (17)$$

Поскольку в четном ядре основное состояние имеет нулевой спин,

$$\Gamma = \langle 0 | \vec{J}^2 | 0 \rangle = 2D. \quad (18)$$

Следовательно,

$$C^2 = I(I+1), \quad (19)$$

$$\mathcal{E} = \langle \Phi | H | \Phi \rangle = \frac{I(I+1)}{2\Theta_0} \quad (20)$$

Отбор физически осмысленных состояний (в данном случае—состояний с четными  $I$ ) осуществляется условием симметрии [2]

$$e^{i\pi J_x} |\Phi\rangle = |\Phi\rangle, \quad (21)$$

совместимым с (13) и не требующим введения дополнительных множителей Лагранжа. Таким образом, в случае четного ядра QCM приводит к моменту инерции стандартной кренкинг-модели с дополнительным условием (1).

В случае нечетной системы пробную функцию представим в виде

$$|\Psi\rangle = N f_1 \alpha_1^+ e^\Sigma |0\rangle, \quad \Sigma = \sum_{23} d_{23} \alpha_2^+ \alpha_3^+, \quad (22)$$

матрица  $d_{12}$  считается малой. Условие симметрии, отбирающее физические решения, имеет теперь форму [1, 5]

$$e^{i\pi J_x} |\Psi\rangle = i(-1)^{I-1/2} |\Psi\rangle. \quad (23)$$

Удобно нормировать волновую функцию (22) так, что

$$f^+ f \equiv \sum_1 f_1^* f_1 = 1, \quad \langle \Psi | \Psi \rangle = 1. \quad (24)$$

Тогда, сохраняя обозначения (9, 10), во втором порядке по  $d$  и в главном порядке по когерентности получаем:

$$\langle \Psi | H | \Psi \rangle = f^+ E f + \frac{1}{2} \Theta_2 + \frac{\Theta_Y}{8D^2} (D_1 - D_1^*)^2, \quad (25)$$

$$\begin{aligned} \langle \Psi | \vec{J}^2 | \Psi \rangle = 2D + \langle [\vec{J} \vec{J}] \rangle + \langle J_x^{11} \rangle (\Theta_1 + \Theta_1^*) + \\ + \frac{1}{4} (\Theta_1 + \Theta_1^*)^2. \end{aligned} \quad (26)$$

Здесь и далее угловыми скобками обозначается усреднение одночастичных матриц по “вектору состояния”  $f$ ; в (26) использована сокращенная запись

$$\begin{aligned} [\vec{J} \vec{J}]_{12} \equiv \sum_3 [(J_\nu^{11})_{13} (J_\nu^{11})_{32} + 4(J_\nu^{20})_{13} (J_\nu^{20})_{32}^*] + \delta_{12} (j_z)_1^2 = \\ = \zeta_{12}^{(+)} \sum_3 j_{13}^\nu \frac{\epsilon_3}{E_3} j_{32}^\nu + \eta_{12}^{(+)} \sum_3 j_{13}^\nu \frac{\Delta}{E_3} J_{32}^\nu, \quad \nu = x, y, \end{aligned} \quad (27)$$

по индексу  $\nu$  предполагается суммирование; коэффициенты  $(J_\nu^{11})_{12}, \zeta_{12}^{(\pm)}$  и  $\eta_{12}^{(\pm)}$  определяются согласно формулам

$$(J_\nu^{11})_{12} = j_{12}^\nu \zeta_{12}^{(-)}, \quad (28)$$

$$\zeta_{12}^{\pm} = u_1 u_2 \mp v_1 v_2, \quad \eta_{12}^{(\pm)} = u_1 v_2 \pm v_1 u_2. \quad (29)$$

Варьируя функционал  $W = \langle \Psi | H - \zeta \vec{J}^2 | \Psi \rangle$  по  $d_{12}^*$ , находим:

$$d_{12} = iA(J_x^{20})_{12} + B \frac{(J_x^{20})_{12}}{E_{12}}, \quad B = \frac{2\zeta \langle J_x^{11} \rangle}{1 - 2\zeta \Theta_0}, \quad (30)$$

$A$  произвольно.

Отсюда следует, что

$$\langle \Psi | H | \Psi \rangle = \langle E \rangle + \frac{1}{2} \Theta_0 B^2, \quad (31)$$

$$\langle \Psi | \vec{J}^2 | \Psi \rangle = 2D + \langle [\vec{J} \vec{J}] \rangle + 4\Theta_0 \zeta \frac{1 - \Theta_0 \zeta}{(1 - 2\Theta_0 \zeta)^2} \langle J_x^{11} \rangle^2. \quad (32)$$

Вариация  $W$  по  $f^+$  с учетом нормировки  $f$  приводит к задаче на собственные значения

$$(E - [\vec{J} \vec{J}] - 2\zeta \Theta_0 B J_x^{11})f = vf. \quad (33)$$

Энергия нечетной системы  $\mathcal{E}$  связана с собственным значением  $v$  соотношением

$$\mathcal{E} = v + \zeta \langle [\vec{J} \vec{J}] \rangle + 2\zeta^2 \Theta_0 \frac{3 - 4\zeta \Theta_0}{(1 - 2\zeta \Theta_0)^2} \langle J_x^{11} \rangle^2. \quad (34)$$

Условие согласования (4) запишем в виде

$$\langle \Psi | \vec{J}^2 | \Psi \rangle - 2D = I(I + 1) + \gamma, \quad (35)$$

$\gamma \sim 1$  и не зависит от  $I$ . Величина  $\gamma$  определяется минимизацией энергии без дополнительных условий, что должно приводить к определению наименьшего по энергии состояния рассматриваемой полосы. Если поменять величины, относящиеся к этому состоянию, индексом 0, то

$$(d_{12})_0 = 0, Ef^0 = E_0 f^0, \quad (36)$$

где  $E_0$  — минимальная квазичастичная энергия состояний с данной четностью, и тогда

$$\gamma = \langle [\vec{J} \vec{J}] \rangle_0 - I_0(I_0 + 1). \quad (37)$$

Из (32) и (35) следует:

$$\langle [\vec{J} \vec{J}] \rangle + \frac{4\Theta_0 \zeta (1 - \Theta_0 \zeta)}{(1 - 2\Theta_0 \zeta)^2} \langle J_x^{11} \rangle^2 = I(I + 1) + \gamma. \quad (38)$$

Уравнения (33), (34) и (38) определяют  $f, \mathcal{E}$  и  $\zeta$ .

Практически более удобна другая форма этой модели ( $z = 2\zeta \Theta_0$ ):

$$(E - \frac{z}{2\Theta_0} [\vec{J} \vec{J}] - \Omega J_x^{11})f = vf,$$

$$\langle J_x^{11} \rangle + \frac{z - 1 + \sqrt{2z - z^2}}{z^2} \Theta_0 \Omega = \sqrt{I(I + 1) + \gamma - \langle [\vec{J} \vec{J}] \rangle}, \quad (39)$$

$$\mathcal{E} = \langle E \rangle + \frac{\Theta_0 \Omega^2}{2z^2}, \quad \Omega \Theta_0 = \frac{z^2}{1 - z} \langle J_x^{11} \rangle,$$

с искусственно введенной “угловой частотой”  $\Omega$ .

Имея в виду сравнение с обычной крэнкинг-моделью, перепишем эти уравнения, определив новую “угловую частоту”  $\omega$  так, чтобы в условие согласования момента входил бы член  $\Theta_0\omega$ :

$$(E - \frac{z}{2\Theta_0}[\vec{J}\vec{J}] - k\omega J_x^{11})f = vf,$$

$$\langle J_x^{11} \rangle + \Theta_0\omega = \sqrt{I(I+1) + \gamma - \langle \vec{J}\vec{J} \rangle}, \quad (40)$$

$$\begin{aligned} \mathcal{E} &= \langle E \rangle + \frac{k^2}{2z^2}\Theta_0\omega^2, \quad \Theta_0\omega = \frac{z-1+\sqrt{2z-z^2}}{1-z}\langle J_x^{11} \rangle, \\ k &= \frac{z^2}{\sqrt{z(2-z)+z-1}}. \end{aligned}$$

Сопоставляя уравнения (40) со стандартной формой адиабатической крэнкинг-модели

$$\begin{aligned} (E - \omega J_x^{11})f &= \beta f, \\ \langle J_x^{11} \rangle + \Theta_0\omega &= \sqrt{I(I+1) - \langle j_z^2 \rangle}, \end{aligned} \quad (41)$$

$$\mathcal{E} = \langle E \rangle + \frac{1}{2}\Theta_0\omega^2,$$

заключаем, что главным отличием QCM от крэнкинг-модели при малых угловых моментах является перенормировка в (40) кориолисова взаимодействия, поскольку в области редкоземельных ядер приближенно сохраняется одночастичный угловой момент  $j$ , порождающий подоболочку деформированных состояний, и, следовательно,

$$\langle [\vec{J}\vec{J}] \rangle \simeq j(j+1), \quad (42)$$

$$\gamma \simeq j(j+1) - I_0(I_0+1).$$

Коэффициент перенормировки кориолисовых сил  $k$  может, очевидно, принимать значения как большие, так и меньшие единицы.

Для того, чтобы сравнить уравнения адиабатической QCM с моделью “частица+ротор” (PRM), введем базис одночастичных состояний

$$|1\rangle = |\alpha K\rangle = \frac{1}{\sqrt{2}}(|\alpha K\rangle + (-1)^{I-1/2+N}|\alpha, -K\rangle), \quad K > 0, \quad (43)$$

где  $K$ —собственное значение матрицы  $j_z$ ,  $N$ —номер оболочки,  $\alpha$ —дополнительные квантовые числа,  $|\alpha K\rangle$ —нильсоновские состояния. Этот базис явно учитывает условие симметрии (23). Матричные элементы оператора энергии для спина  $I$  в QCM по волновым функциям (43) имеют вид:

$$\begin{aligned} \mathcal{H}_{\alpha K, \alpha' K}^I &= \delta_{\alpha \alpha'} \left[ \frac{z}{2\Theta_0} \langle [\vec{J}\vec{J}] \rangle + \frac{z^2}{2\Theta_0} \frac{3-2z}{(1-z)^2} \langle J_x^{11} \rangle^2 + E_{\alpha K} \right] - \\ &- \frac{z}{2\Theta_0} [\vec{J}\vec{J}]_{\alpha K, \alpha' K} + \frac{1}{2\Theta_0} (-1)^{I+1/2} \frac{z^2}{1-z} \langle J_x^{11} \rangle a_{\alpha \alpha'} \delta_{K, 1/2}, \end{aligned} \quad (44)$$

$$\mathcal{H}_{\alpha K+1, \alpha' K}^I = -\frac{1}{2\Theta_0} \frac{z^2}{1-z} \langle J_x^{11} \rangle (j_+)_{\alpha K+1, \alpha' K} \zeta_{\alpha K+1, \alpha' K}^{(-)}, \quad (45)$$

где  $j_+ \equiv j_x + ij_y$ ,  $a_{\alpha \alpha'}$ —параметры развязки, а среднее значение  $\langle J_x^{11} \rangle$  вычисляется по собственной функции “тамильтона”  $\mathcal{H}$ .

В приближении (42) оператор  $\mathcal{H}$  приобретает форму

$$\mathcal{H}_{KK}^I \simeq \frac{z(3-2z)}{2\Theta_0(2-z)} [I(I+1) - I_0(I_0+1)] + E_K + \frac{1}{2\Theta_0} (-1)^{I+1/2} (I+1/2) a_I \delta_{K, 1/2}, \quad (46)$$

$$\mathcal{H}_{K+1, K}^I \simeq -\frac{1}{2\Theta_0} \frac{z^2}{\sqrt{z(2-z)}} \sqrt{I(I+1) - I_0(I_0+1)} (j_+)_{K+1, K} \zeta_{K+1, K}^{(-)}. \quad (47)$$

Здесь введен новый коэффициент развязки

$$a_I = a \frac{\sqrt{I(I+1) - I_0(I_0+1)}}{I+1/2} \quad (48)$$

и использовано уравнение (38), приближенно сводящееся к соотношению

$$\frac{\sqrt{z(2-z)}}{1-z} \langle J_x^{11} \rangle \simeq \sqrt{I(I+1) - I_0(I_0+1)}. \quad (49)$$

Условие (49) определяет величину  $z$ .

В этом же приближении гамильтониан PRM определяется равенствами

$$H_{KK}^I \simeq \frac{1}{2\Theta_0} [I(I+1) + j(j+1) - 2K^2] + E_K + \\ + \frac{1}{2\Theta_0} (-1)^{I+1/2} (I+1/2) a \delta_{K,1/2}, \quad (50)$$

$$H_{K+1,K}^I = -\frac{1}{2\Theta_0} \sqrt{I(I+1) - K(K+1)} (j_+)_{K+1,K} \zeta_{K+1,K}^{(-)}. \quad (51)$$

Таким образом, уравнения (46, 47) отличает от (50, 51) следующее:

1) усредняется зависимость от  $K$  в первом члене правой части равенства (50) и в подкоренном выражении соотношения (51);

2) параметр развязки уменьшается и зависит от  $I$ ;

3) перенормируется момент инерции остова:

$$\Theta_0 \rightarrow \Theta_0 \frac{2-z}{z(3-2z)};$$

4) недиагональный матричный элемент гамильтониана (51) умножается на фактор  $z^{3/2}(2-z)^{-1/2}$ , что приводит к перенормировке кориолисова взаимодействия относительно чисто вращательного члена с коэффициентом

$$p_{cor} = \frac{\sqrt{z(2-z)}}{3-2z}. \quad (52)$$

Из этих отличий последние два, по-видимому, наиболее существенны.

Косвенно оценить влияние отмеченных перенормировок можно по величине момента инерции нечетного ядра в предположении о малости кориолисова взаимодействия. В этом случае, исходя из уравнений QCM в форме (39) и принимая приближение (42), получаем:

$$\frac{\sqrt{z(2-z)}}{1-z} \langle J_x^{11} \rangle = \sqrt{I(I+1) - I_0(I_0+1)}, \quad (53)$$

$$\langle J_x^{11} \rangle = \Omega \vartheta_\alpha, \quad \vartheta_\alpha = 2 \sum_{1 \neq \alpha} \frac{|(J_x^{11})_{1\alpha}|^2}{E_1 - E_\alpha}, \quad (54)$$

где индексом  $\alpha$  обозначен одночастичный уровень с минимальной энергией квазичастицы. Из соотношения (53) следует положительность  $z$  при  $I > I_0$ .

Далее, из дополнительного (по отношению к кренкинг-модели) условия в (39) следует:

$$\frac{1-z}{z^2} = \frac{\vartheta_\alpha}{\Theta_0} = r, \quad z = \frac{\sqrt{4r+1}-1}{2r}. \quad (55)$$

Второе решение ( $z < 0$ ) не физично.

Уравнения (53, 54) с численным значением  $z$ , найденным из (55), определяют "угловую частоту"  $\Omega$ :

$$\Omega = \frac{1}{\Theta_0} \frac{z^{3/2}}{(2-z)^{1/2}} \sqrt{I(I+1) - I_0(I_0+1)}. \quad (56)$$

Наконец, энергия в этом приближении имеет вид

$$\mathcal{E} = \text{const} + \frac{I(I+1)}{2\Theta_{QCM}}, \quad (57)$$

где

$$\Theta_{QCM} = \frac{1}{z} \Theta_0 = \Theta_0 \frac{\sqrt{4r+1}+1}{2}. \quad (58)$$

Для сравнения приведем моменты инерции нечетного ядра, полученные в тех же предположениях в кренкинг-модели ( $\Theta_{CM}$ ) и PRM( $\Theta_{PRM}$ ):

$$\Theta_{CM} = \Theta_0(1+r),$$

$$\Theta_{PRM} = \frac{\Theta_0}{1 - \frac{1}{2}r}.$$

Численная оценка моментов инерции в трех обсуждаемых моделях может быть получена с использованием значений

$$\Theta_0 = 26.82 \text{ MeV}^{-1}, \quad \vartheta_\alpha = 96.53 \text{ MeV}^{-1},$$

вычисленных в [6] для искаженной кориолисовым взаимодействием полосы  $5/2^+$  в ядре  $^{159}\text{Dy}$ :

$$\frac{\Theta_{QCM}}{\Theta_0} = 2.462, \quad \frac{\Theta_{CM}}{\Theta_0} = 4.599, \quad \frac{\Theta_{PRM}}{\Theta_0} = -1.251.$$

Таким образом, *QCM* обеспечивает значительную перенормировку ко-риолисова взаимодействия (хотя и меньшую, чем крэнкинг-модель) по сравнению с *PRM*, приводящей к неправильному порядку уровней.

#### ЛИТЕРАТУРА

1. P. Ring, H.J. Mang. Nucl. Phys., 1974, **A225**, 141.
2. R. Beck, H.J. Mang, P. Ring. Zs. Phys., 1970, **231**, 26.
3. B.B. Мазепус. ЯФ, 1981, **34**, 928.
4. V.V. Mazepus. Preprint INP, 79—77, Novosibirsk, 1979.
5. P. Ring, R. Beck, H.J. Mang. Zs. Phys., 1970, **231**, 10.
6. P. Ring, H.J. Mang. Phys. Rev. Lett., 1974, **33**, 1174.

B.B. Мазепус

Модель принудительного вращения, сохраняющая  
в среднем квадрат углового момента

ИЯФ 92-49

Ответственный за выпуск С.Г. Попов

Работа поступила 18 мая 1992 г.

Подписано в печать 23.06.92 г.

Формат бумаги 60×90 1/16 Объем 1,1 печ.л., 0,9 уч.-изд.л.

Тираж 150 экз. Бесплатно. Заказ № 49.

Обработано на IBM PC и отпечатано  
на ротапринте ИЯФ им. Г.И. Будкера СО РАН,  
Новосибирск, 630090, пр. академика Лаврентьева, 11.